

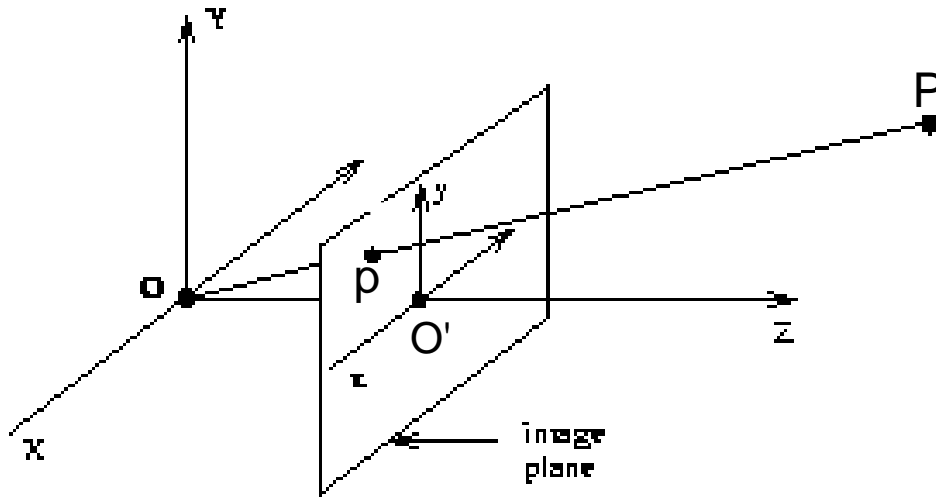
# 9º CAPÍTULO

## Geometria Projectiva

Prof. Arnaldo Abrantes / anotado por Prof. Nuno Pinho da Silva

# Projecção de Perspectiva

- A projecção dum ponto 3D no plano de imagem pode ser descrita por uma projecção de perspectiva



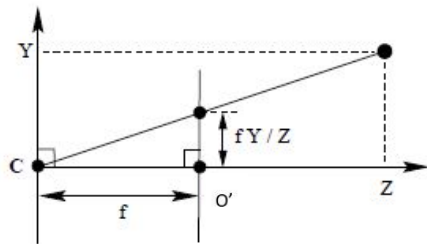
$$P \leftarrow (X, Y, Z)^T$$

$$p \leftarrow (x, y)^T$$

$$x = f \frac{X}{Z} \quad y = f \frac{Y}{Z}$$

**Em coordenadas homogêneas:**

$$\begin{pmatrix} \lambda x \\ \lambda y \\ \lambda \end{pmatrix} = \begin{pmatrix} u_1 \\ u_2 \\ u_3 \end{pmatrix} = \begin{pmatrix} f & 0 & 0 & 0 \\ 0 & f & 0 & 0 \\ 0 & 0 & 1 & 0 \end{pmatrix} \begin{pmatrix} X \\ Y \\ Z \\ 1 \end{pmatrix}$$



- **Dificuldade:** Os pontos  $P$  no espaço 3D estão expressos em coordenadas métricas e usam o referencial da câmara (geralmente não se tem acesso a este sistema de coordenadas)

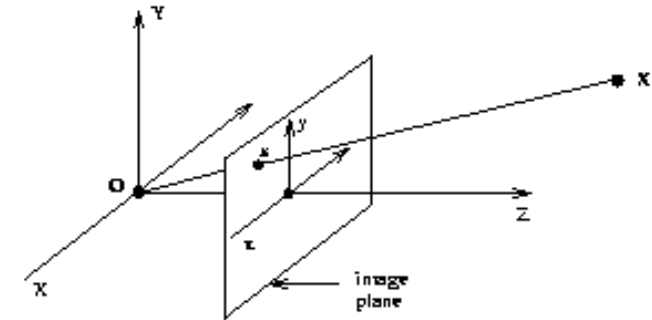
- **Motivação**: As equações da projecção de perspectiva são não lineares quando estão expressas em coordenadas cartesianas, mas são lineares quando se exprimem em coordenadas homogéneas
  - Obs: Esta é uma característica de todas as transformações da geometria projectiva (e não apenas da projecção de perspectiva)
- **Propriedades**: Coordenadas projectivas ou homogéneas
  - Dois vectores  $(x_1, \dots, x_n, x_{n+1})^T$  e  $(\lambda x_1, \dots, \lambda x_n, \lambda x_{n+1})^T$  representam o mesmo ponto para qualquer  $\lambda \neq 0$
  - Um vector com coordenadas homogéneas  $(x_1, \dots, x_n, x_{n+1})^T$  representa o ponto com coordenadas cartesianas  $\left( \frac{x_1}{x_{n+1}}, \dots, \frac{x_n}{x_{n+1}} \right)^T$

# Matriz de projecção

- Sistemas de coordenadas envolvidos: câmara, imagem e mundo

- 1) Referencial da câmara

$$\lambda \begin{pmatrix} x^c \\ y^c \\ 1 \end{pmatrix} = \begin{pmatrix} f & 0 & 0 & 0 \\ 0 & f & 0 & 0 \\ 0 & 0 & 1 & 0 \end{pmatrix} \begin{pmatrix} X^c \\ Y^c \\ Z^c \\ 1 \end{pmatrix}$$

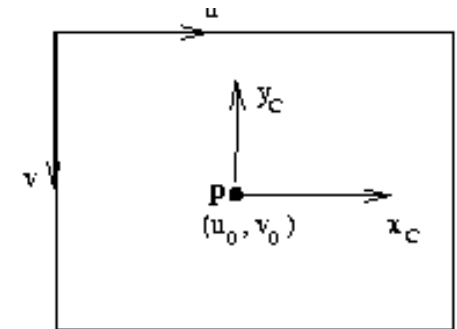


- 2) Referencial da imagem

$$\lambda \begin{pmatrix} u \\ v \\ 1 \end{pmatrix} = \begin{pmatrix} k_u & 0 & u_0 \\ 0 & -k_v & v_0 \\ 0 & 0 & 1 \end{pmatrix} \begin{pmatrix} \lambda x^c \\ \lambda y^c \\ \lambda \end{pmatrix}$$

$$k_u x^c = u - u_0$$

$$k_v y^c = v_0 - v$$

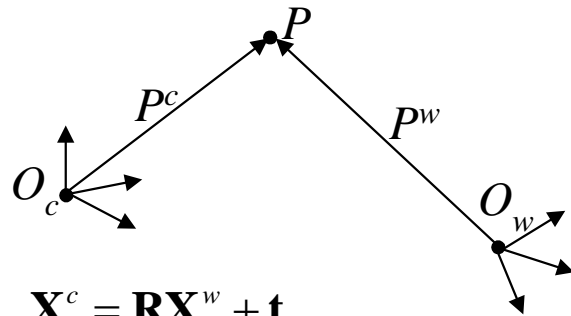


- Os parâmetros intrínsecos são 4 e caracterizam:
  - dimensão dos pixels (escalamentos vertical e horizontal,  $fk_u, fk_v$ )
  - posição do ponto principal  $(u_0, v_0)$  - intersecção do eixo óptico com o plano de imagem

# Parâmetros extrínsecos

- 3) Referencial do mundo (transformação rígida)
  - É mais prático expressar as coordenadas dos pontos 3D, usando um referencial do mundo  $\{w\}$  diferente do referencial da câmara  $\{c\}$

$$P^c = R_w^c P^w + O_w^c$$



$$\lambda \begin{pmatrix} X^c \\ Y^c \\ Z^c \\ 1 \end{pmatrix} = \begin{pmatrix} \mathbf{R} & \mathbf{t} \\ \mathbf{0}^T & 1 \end{pmatrix} \begin{pmatrix} X^w \\ Y^w \\ Z^w \\ 1 \end{pmatrix}$$

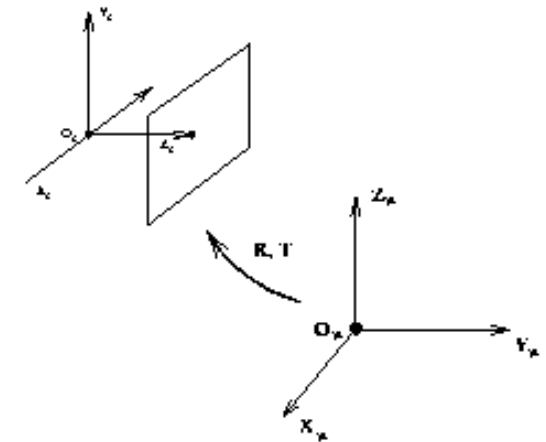
- Os parâmetros extrínsecos são 6:
  - três parâmetros de rotação
  - três parâmetros de translação

$P^c$  - ponto  $P$  expresso em  $\{c\}$

$P^w$  - ponto  $P$  expresso em  $\{w\}$

$R_w^c$  - Rotação de  $\{w\}$  para  $\{c\}$ .  
(referencial  $\{w\}$  expresso em  $\{c\}$ )

$O_w^c$  - origem de  $\{w\}$  expresso em  $\{c\}$



- Concatenando os diferentes modelos, resulta:

$$\lambda \begin{pmatrix} u \\ v \\ 1 \end{pmatrix} = \begin{pmatrix} k_u & 0 & u_0 \\ 0 & -k_v & v_0 \\ 0 & 0 & 1 \end{pmatrix} \begin{pmatrix} f & 0 & 0 & 0 \\ 0 & f & 0 & 0 \\ 0 & 0 & 1 & 0 \end{pmatrix} \begin{pmatrix} \mathbf{R} & \mathbf{t} \\ \mathbf{0}^T & 1 \end{pmatrix} \begin{pmatrix} X^w \\ Y^w \\ Z^w \\ 1 \end{pmatrix}$$

- Ou mais simplesmente,

$$\lambda \begin{pmatrix} u \\ v \\ 1 \end{pmatrix} = \begin{pmatrix} \alpha_u & 0 & u_0 \\ 0 & \alpha_v & v_0 \\ 0 & 0 & 1 \end{pmatrix} (\mathbf{R} \mid \mathbf{t}) \begin{pmatrix} X^w \\ Y^w \\ Z^w \\ 1 \end{pmatrix}$$

$$\alpha_u = f k_u$$

$$\alpha_v = -f k_v$$

$$\mathbf{P} = \mathbf{C}(\mathbf{R} \mid \mathbf{t})$$

- Finalmente....

$$\lambda \begin{bmatrix} u \\ v \\ 1 \end{bmatrix} = P \begin{bmatrix} X^w \\ Y^w \\ Z^w \\ 1 \end{bmatrix}$$

$$\mathbf{C} = \begin{pmatrix} \alpha_u & 0 & u_0 \\ 0 & \alpha_v & v_0 \\ 0 & 0 & 1 \end{pmatrix}$$

## Propriedades da matriz de projecção

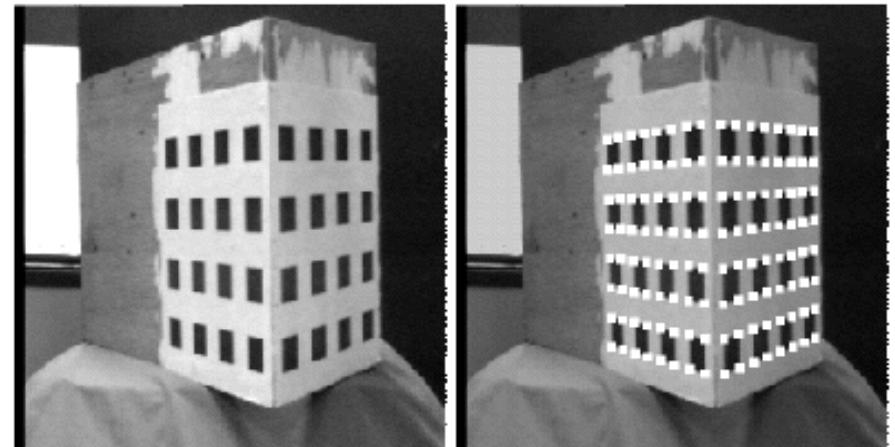
---

- O espaço nulo de  $\mathbf{P}$  é o centro óptico da câmara, expresso no referencial do mundo, ou seja  $\mathbf{O}_c = -\mathbf{R}^T \mathbf{t}$
- Quando o referencial do mundo está alinhado com o referencial da câmara, então tem-se que  $\mathbf{P} = \mathbf{C}(\mathbf{I} | \mathbf{0})$
- Se as medidas na imagem forem *normalizadas*, então  $\mathbf{P} = (\mathbf{I} | \mathbf{0})$ , o que corresponde a usar pontos com coordenadas  $\mathbf{x}_c = \mathbf{C}^{-1} \mathbf{x}_i$
- Um ponto  $\mathbf{x}$  medido na imagem é retroprojectado no espaço 3D como sendo um raio com equação  $\mathbf{X}(\lambda) = \mathbf{O}_c + \lambda(\mathbf{C}\mathbf{R})^{-1} \mathbf{x}$ . Ou seja, todos os pontos  $\mathbf{X}$  são projectados na imagem num mesmo ponto,  $\mathbf{x}$

- **Objectivo da calibração**: determinar parâmetros intrínsecos (ou seja, a matriz **C**)
- **Algoritmo**:
  - 1) Determinar a matriz **P**, usando um conjunto de  $n$  medidas na imagem, cujas coordenadas 3D no referencial do mundo são conhecidas

$$\mathbf{x} = \mathbf{P} \begin{pmatrix} \mathbf{X} \\ 1 \end{pmatrix}$$

$$\lambda \begin{pmatrix} x_i \\ y_i \\ 1 \end{pmatrix} = \begin{pmatrix} p_{11} & p_{12} & p_{13} & p_{14} \\ p_{21} & p_{22} & p_{23} & p_{24} \\ p_{31} & p_{32} & p_{33} & p_{34} \end{pmatrix} \begin{pmatrix} X_i \\ Y_i \\ Z_i \\ 1 \end{pmatrix}$$



- 2) Decompôr a matriz **P** nas matrizes **C**, **R** e **t**. Por exemplo, através da decomposição RQ

$$\mathbf{P} = \mathbf{C}(\mathbf{R} \mid \mathbf{t})$$



# Determinação da matriz **P**

- Cada correspondência dá origem a duas equações

$$x_i = \frac{p_{11}X_i + p_{12}Y_i + p_{13}Z_i + p_{14}}{p_{31}X_i + p_{32}Y_i + p_{33}Z_i + p_{34}} \quad y_i = \frac{p_{21}X_i + p_{22}Y_i + p_{23}Z_i + p_{24}}{p_{31}X_i + p_{32}Y_i + p_{33}Z_i + p_{34}}$$

$$x_i(p_{31}X_i + p_{32}Y_i + p_{33}Z_i + p_{34}) = p_{11}X_i + p_{12}Y_i + p_{13}Z_i + p_{14}$$

$$y_i(p_{31}X_i + p_{32}Y_i + p_{33}Z_i + p_{34}) = p_{21}X_i + p_{22}Y_i + p_{23}Z_i + p_{24}$$

- Estas equações podem ser escritas em forma matricial,

$$\begin{pmatrix} X_i & Y_i & Z_i & 1 & 0 & 0 & 0 & 0 & -x_iX_i & -x_iY_i & -x_iZ_i & -x_i \\ 0 & 0 & 0 & 0 & X_i & Y_i & Z_i & 1 & -y_iX_i & -y_iY_i & -y_iZ_i & -y_i \end{pmatrix} \mathbf{p} = \mathbf{0}$$

$$\mathbf{p} = (p_{11}, p_{12}, p_{13}, p_{14}, p_{21}, p_{22}, p_{23}, p_{24}, p_{31}, p_{32}, p_{33}, p_{34})^T$$

- Usando  $n \geq 6$  correspondências, obtém-se um sistema de  $2n$  equações homogéneas, com  $11$  incógnitas

$$\mathbf{A}\mathbf{p} = \mathbf{0}$$

(dimensão de **A** é  $2n \times 11$ )

At least 28 points should be used [Hartley & Zisserman]

## Determinação da matriz $\mathbf{P}$ (cont.)

- Em geral, o sistema  $\mathbf{A}\mathbf{p} = \mathbf{0}$  não tem uma solução exacta
  - **Solução:** encontrar a solução que minimiza  $|\mathbf{A}\mathbf{p}|$ , sujeita à restrição de  $|\mathbf{p}|=1$ .
    - determinar o vector próprio de  $\mathbf{A}^T\mathbf{A}$  com menor valor próprio, ou alternativamente
    - determinar o vector correspondente ao menor valor singular da decomposição SVD de  $\mathbf{A}$
- A solução *linear* encontrada pode ser melhorada de forma iterativa, através de utilização de método de optimização não linear

$$\min_{\mathbf{p}} \sum_i ((x_i, y_i) - P(X_i, Y_i, Z_i, 1))^2$$

- Método alternativo
  - Impôr  $p_{34} = 1$  e obter solução de mínimos quadrados do sistema (agora não homogéneo) sobredeterminado  $\mathbf{A}\mathbf{p}^\# = \mathbf{b}$

$$\mathbf{p}^\# = \mathbf{A}^+ \mathbf{b} = (\mathbf{A}^T \mathbf{A})^{-1} \mathbf{A}^T \mathbf{b} \quad \text{onde} \quad \mathbf{p}^\# = (p_{11}, p_{12}, p_{13}, p_{14}, p_{21}, p_{22}, p_{23}, p_{24}, p_{31}, p_{32}, p_{33})^T$$

- Decomposição de  $\mathbf{P}$  nas matrizes  $\mathbf{C}$ ,  $\mathbf{R}$  e  $\mathbf{t}$ 
  - Seja  $\mathbf{M} = \mathbf{C}\mathbf{R}$ .
    - 1) Factorizar  $\mathbf{M}$  em  $\mathbf{C}\mathbf{R}$  usando, por exemplo, a decomposição matricial RQ (produto de matriz triangular superior por matriz de rotação). Obtém-se com este procedimento as matrizes  $\mathbf{C}$  e  $\mathbf{R}$
    - 2) Calcular o vector translação, usando

$$\mathbf{t} = \mathbf{C}^{-1}(p_{14}, p_{24}, p_{34})^T$$

- Observação: Com este algoritmo, surge um parâmetro adicional,  $k$ , na matriz de parâmetros intrínsecos

$$\mathbf{C} = \begin{pmatrix} \alpha_u & k & u_0 \\ 0 & \alpha_v & v_0 \\ 0 & 0 & 1 \end{pmatrix}$$

# Decomposição em valores singulares (SVD)

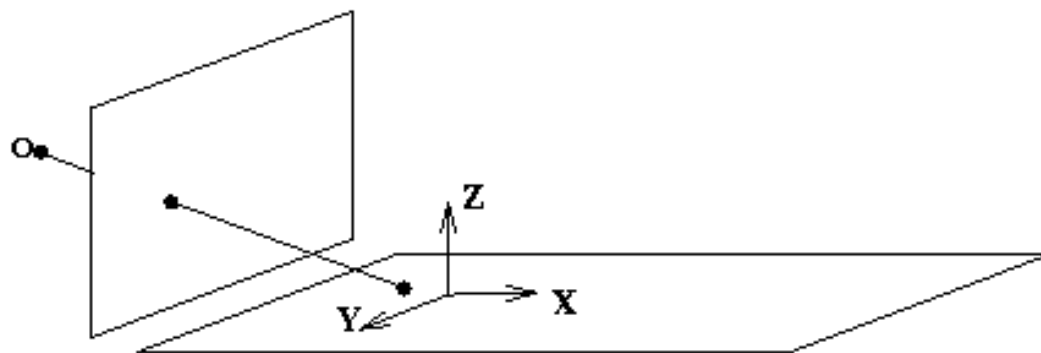
---

- **Definição:** Seja  $\mathbf{A}$  uma matriz real de dimensão  $m \times n$ . Então existem duas matrizes ortogonais  $\mathbf{U}$  ( $m \times m$ ) e  $\mathbf{V}$  ( $n \times n$ ), tais que

$$\begin{aligned}\mathbf{U}^T \mathbf{A} \mathbf{V} &= \text{diag}(\sigma_1, \dots, \sigma_p) & p &= \min\{m, n\} \\ \sigma_1 &\geq \sigma_2 \geq \dots \geq \sigma_p \geq 0\end{aligned}$$

- Os escalares  $\sigma_i$  designam-se por *valores singulares* da matriz  $\mathbf{A}$ .
  - Estes valores são os comprimentos dos eixos do hiperelipsóide  $\mathbf{A}x$ , onde  $x$  é vector de norma unitária. A decomposição SVD pode portanto ser usada para encontrar as direcções que são mais “amplificadas” ou mais “atenuadas” pela multiplicação por  $\mathbf{A}$
  - A SVD é útil também para obter as bases ortonormadas que definem o espaço coberto por  $\mathbf{A}$ , assim como o seu espaço nulo. Seja  $\sigma_r$  o menor valor singular não nulo da matriz  $\mathbf{A}$ , então  $\mathbf{A}$  tem característica (*rank*)  $r$ , o seu espaço coberto é definido pelas primeiras  $r$  colunas de  $\mathbf{U}$ ,  $\{u_1, \dots, u_r\}$  e o seu espaço nulo pelas últimas colunas de  $\mathbf{V}$ ,  $\{v_{r+1}, \dots, v_n\}$

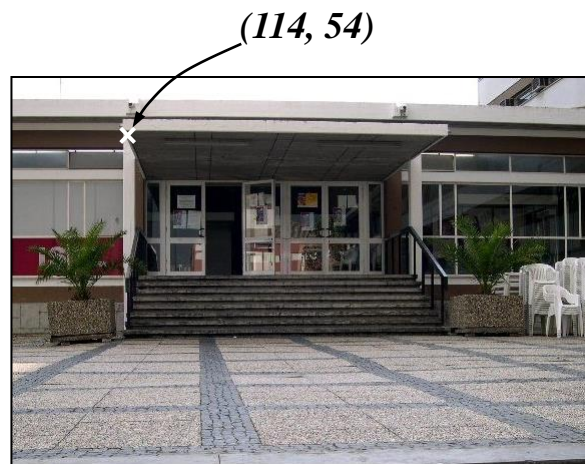
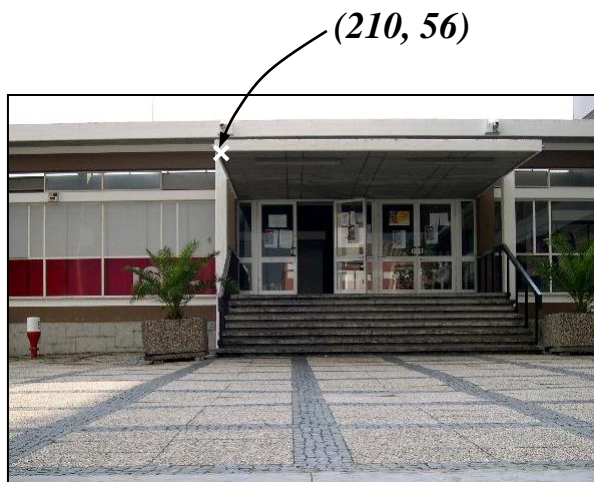
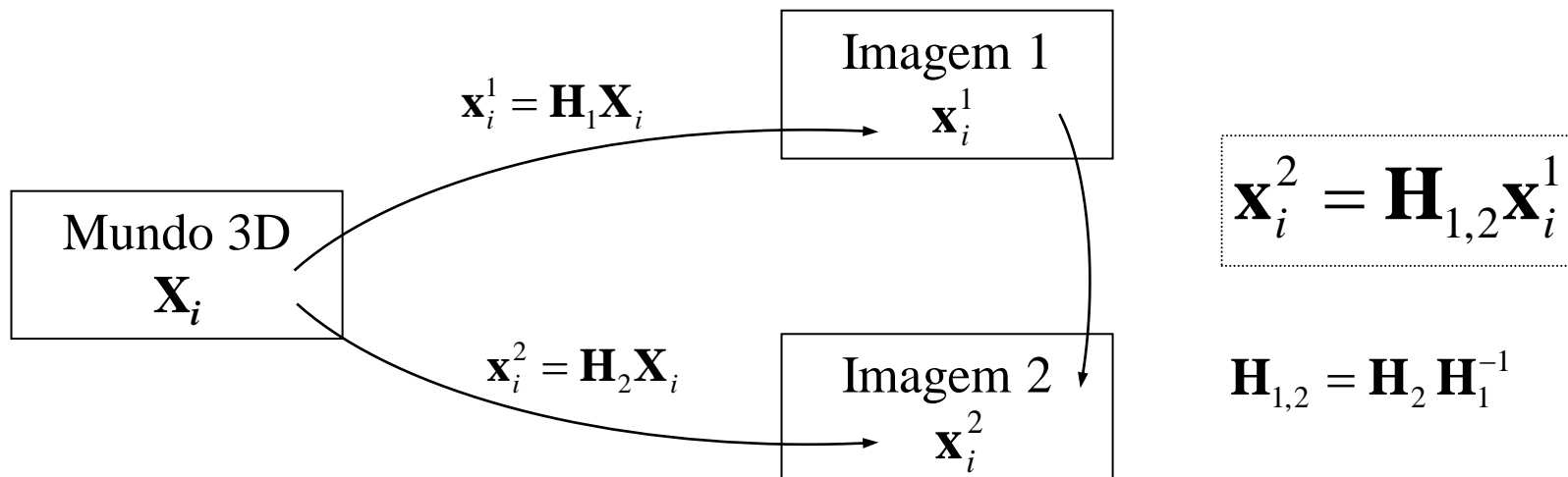
- Se escolher o referencial do mundo de tal forma que os pontos no plano têm coordenadas **Z** nulas, então nesse caso resulta um modelo mais simples (8 parâmetros)



$$\begin{pmatrix} x_1 \\ x_2 \\ x_3 \end{pmatrix} = \begin{pmatrix} p_{11} & p_{12} & p_{13} & p_{14} \\ p_{21} & p_{22} & p_{23} & p_{24} \\ p_{31} & p_{32} & p_{33} & p_{34} \end{pmatrix} \begin{pmatrix} X \\ Y \\ 0 \\ 1 \end{pmatrix} = \begin{pmatrix} p_{11} & p_{12} & p_{14} \\ p_{21} & p_{22} & p_{24} \\ p_{31} & p_{32} & p_{34} \end{pmatrix} \begin{pmatrix} X \\ Y \\ 1 \end{pmatrix}$$

- A matriz 3x3 representa uma transformação geral entre dois planos (plano 3D/imagem ou então imagem1/imagem2, resultante da observação de um conjunto de pontos pertencentes a um plano)

# Homografia – Movimento é livre mas o mundo é plano



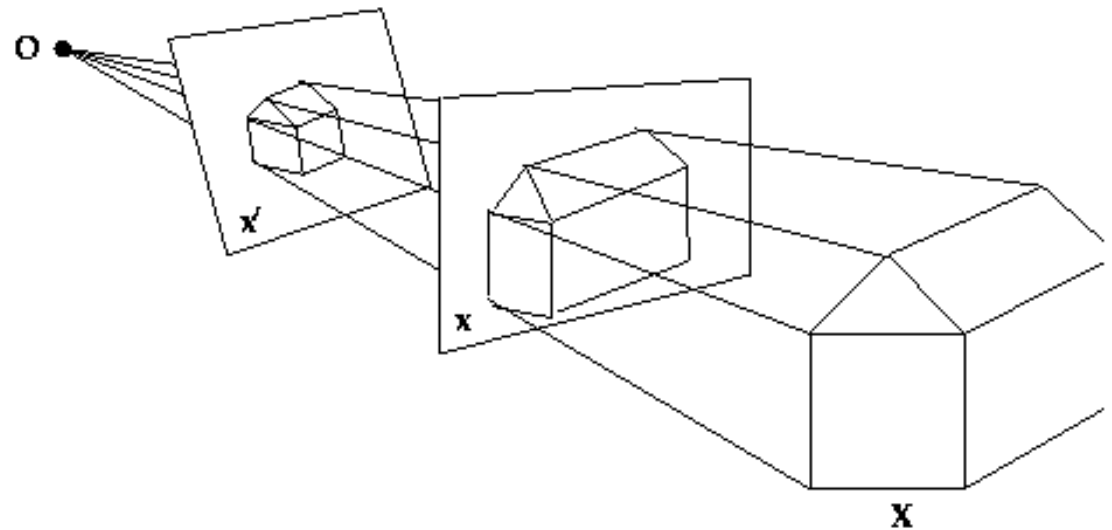
## Homografia – Movimento apenas de rotação mas mundo é 3D

- Quando a câmara se move, mas com o seu centro óptico mantido fixo, então os pontos em correspondência nas imagens estão relacionados através de transformações projectivas planas

$$\mathbf{x} = \mathbf{C}(\mathbf{I}|\mathbf{0}) \begin{pmatrix} \mathbf{X} \\ 1 \end{pmatrix} = \mathbf{C}\mathbf{X}$$

$$\begin{aligned} \mathbf{x}' &= \mathbf{C}(\mathbf{R}|\mathbf{0}) \begin{pmatrix} \mathbf{X} \\ 1 \end{pmatrix} = \mathbf{C}\mathbf{R}\mathbf{X} \\ &= \mathbf{C}\mathbf{R}\mathbf{C}^{-1}\mathbf{x} \end{aligned}$$

$$\mathbf{x}' = \mathbf{H}\mathbf{x} \quad \mathbf{H} = \mathbf{C}\mathbf{R}\mathbf{C}^{-1}$$



- **Obs**: a matriz  $\mathbf{H}$  não depende da estrutura 3D dos pontos observados

# Exemplo: rotações sintéticas



Imagem original de  
corredor



Imagem produzidas sinteticamente

- Ambas as imagens correspondem a rotações sintéticas da câmara, relativamente ao seu centro óptico
  - esquerda; transformação (*warping*) da imagem original por forma a se obterem ladrilhos quadrados
  - direita; transformação (*warping*) da imagem original por forma a se obter uma porta rectangular

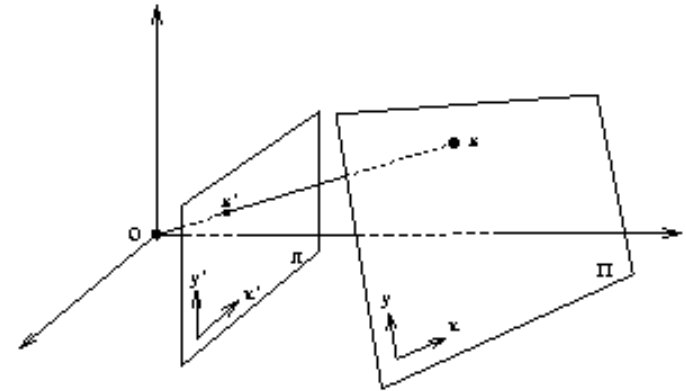


# Estimação de homografia

- São necessários 4 correspondências para definir completamente uma transformação homográfica

$$\lambda \begin{pmatrix} x' \\ y' \\ 1 \end{pmatrix} = \begin{pmatrix} h_{11} & h_{12} & h_{13} \\ h_{21} & h_{22} & h_{23} \\ h_{31} & h_{32} & h_{33} \end{pmatrix} \begin{pmatrix} x \\ y \\ 1 \end{pmatrix}$$

$$\mathbf{x}' = \mathbf{H}\mathbf{x}$$



- Cada correspondência produz duas equações lineares nos elementos de  $\mathbf{H}$

$$x' = \frac{h_{11}x + h_{12}y + h_{13}}{h_{31}x + h_{32}y + h_{33}}$$

$$y' = \frac{h_{21}x + h_{22}y + h_{23}}{h_{31}x + h_{32}y + h_{33}}$$

$$x'(h_{31}x + h_{32}y + h_{33}) = h_{11}x + h_{12}y + h_{13}$$

$$y'(h_{31}x + h_{32}y + h_{33}) = h_{21}x + h_{22}y + h_{23}$$

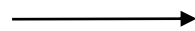
- O oposto também se verifica. Através duma homografia é sempre possível transformar quaisquer 4 pontos em posições arbitrárias noutros quaisquer 4 pontos arbitrários.

- Possível solução:

- Fazer  $h_{33}=1$  e resolver sistema linear de  $2n$  equações e 8 incógnitas

$$\mathbf{A}\mathbf{h} = \mathbf{b}$$

Exemplo  
com  $n = 4$

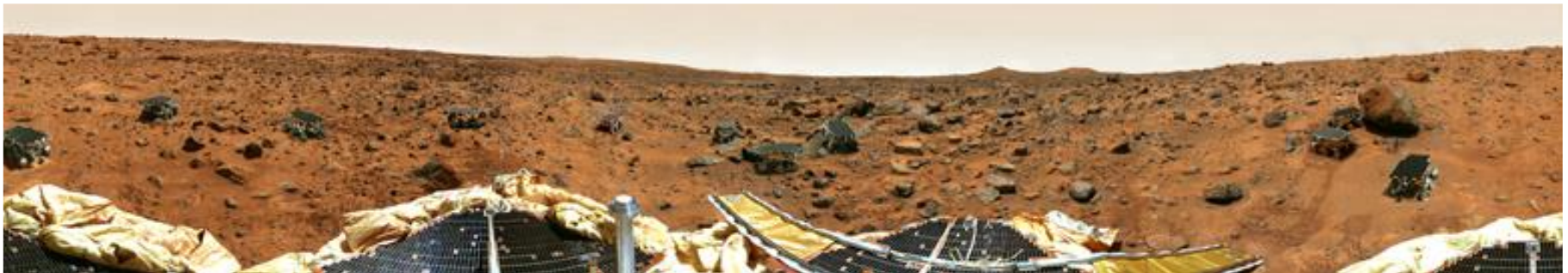
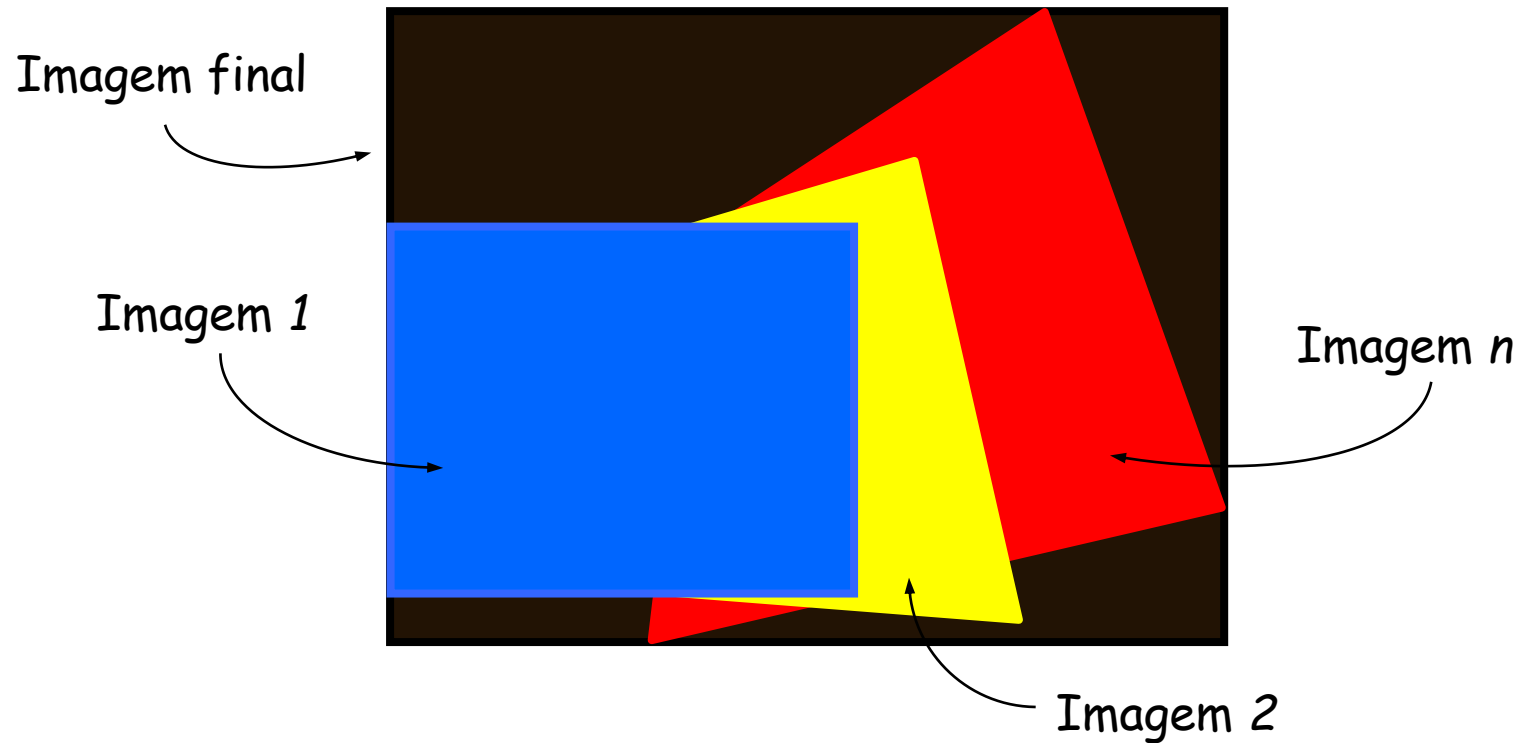


$$\begin{pmatrix} x_1 & y_1 & 1 & 0 & 0 & 0 & -x_1'x_1 & -x_1'y_1 \\ 0 & 0 & 0 & x_1 & y_1 & 1 & -y_1'x_1 & -y_1'y_1 \\ x_2 & y_2 & 1 & 0 & 0 & 0 & -x_2'x_2 & -x_2'y_2 \\ 0 & 0 & 0 & x_2 & y_2 & 1 & -y_2'x_2 & -y_2'y_2 \\ x_3 & y_3 & 1 & 0 & 0 & 0 & -x_3'x_3 & -x_3'y_3 \\ 0 & 0 & 0 & x_3 & y_3 & 1 & -y_3'x_3 & -y_3'y_3 \\ x_4 & y_4 & 1 & 0 & 0 & 0 & -x_4'x_4 & -x_4'y_4 \\ 0 & 0 & 0 & x_4 & y_4 & 1 & -y_4'x_4 & -y_4'y_4 \end{pmatrix} \begin{pmatrix} h_{11} \\ h_{12} \\ h_{13} \\ h_{21} \\ h_{22} \\ h_{23} \\ h_{31} \\ h_{32} \end{pmatrix} = \begin{pmatrix} x_1' \\ y_1' \\ x_2' \\ y_2' \\ x_3' \\ y_3' \\ x_4' \\ y_4' \end{pmatrix}$$

- Mínimos quadrados

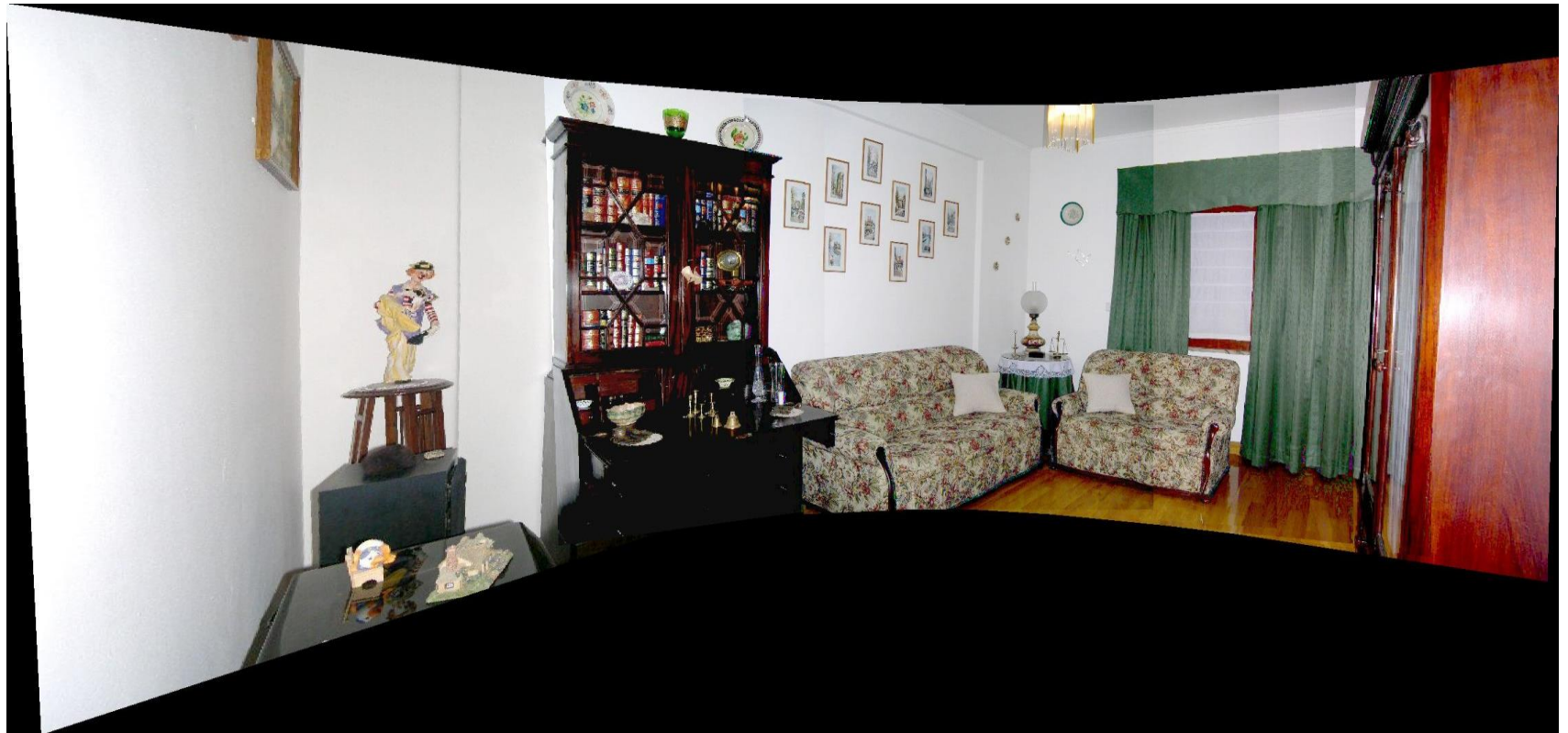
$$\hat{\mathbf{h}} = (\mathbf{A}^T \mathbf{A})^{-1} \mathbf{A}^T \mathbf{b}$$

# Aplicação na construção de mosaico



Mosaico da superfície de Marte

- Mosaico construído a partir de 8 imagens (matriz  $H$  estimada usando 10 correspondências, definidas manualmente)



- Mosaico construído a partir de 7 imagens (matriz  $H$  estimada usando 8 correspondências, definidas manualmente)



Edifício do DEETC